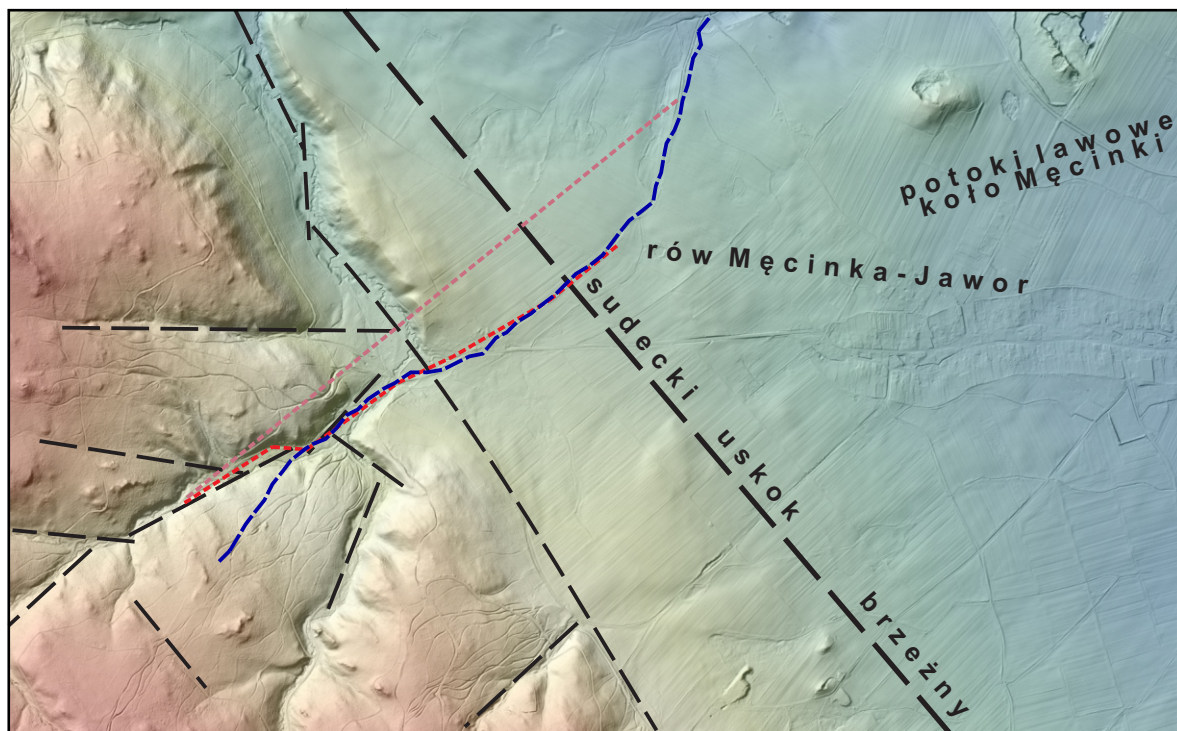


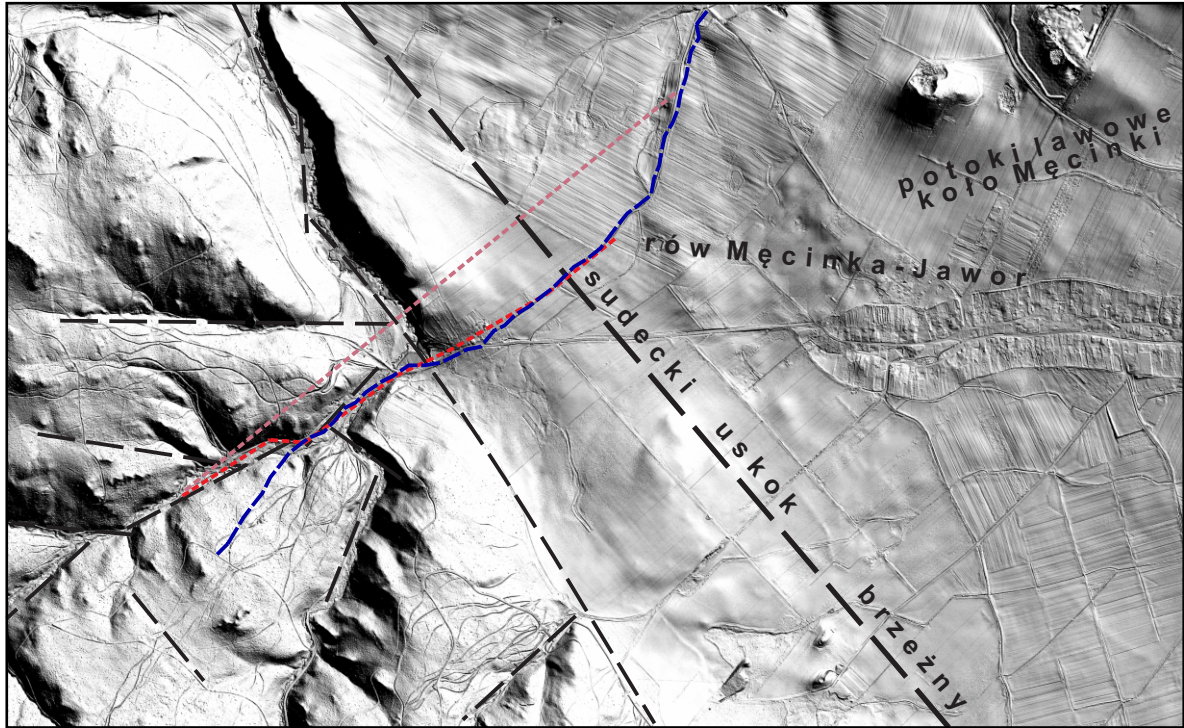
0 200 400 600 800 1000m

**Fig. 10.1.11a.** Rejon (obszar) badań Męcinka. Lokalizacja badawczych linii pomiarowych na mapie topograficznej 1 : 25 000. Objaśnienia zgodnie z legendą na Fig.10.1.11e.



0 200 400 600 800 1000m

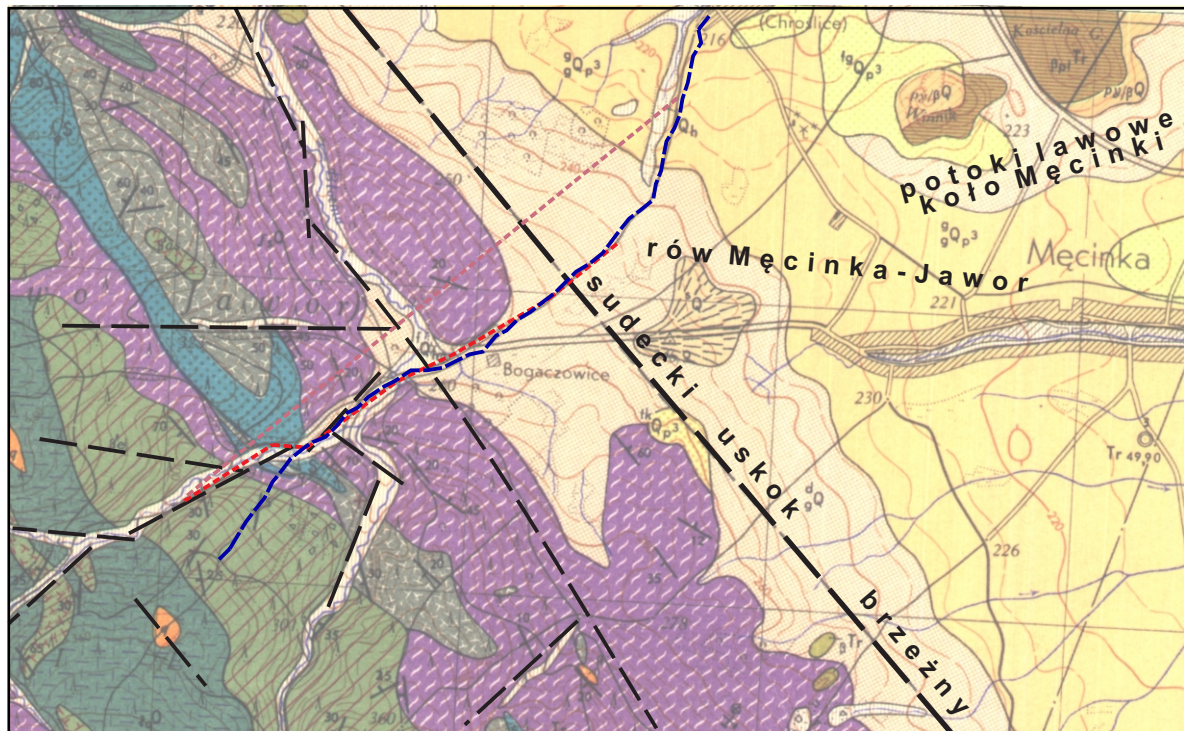
**Fig. 10.1.11b.** Rejon (obszar) badań Męcinka. Lokalizacja badawczych linii pomiarowych na mapie cieniowanego reliefu, opartej na cyfrowym modelu terenu wykonanym na podstawie danych skaningu laserowego LIDAR – wersja kolorowa.



0 200 400 600 800 1000m

**Fig. 10.1.11c.** Rejon (obszar) badań Męcinka. Lokalizacja badawczych linii pomiarowych na mapie cieniowanego reliefu, opartej na cyfrowym modelu terenu wykonanym na podstawie danych skaningu laserowego LIDAR – wersja czarno-biała.

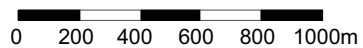
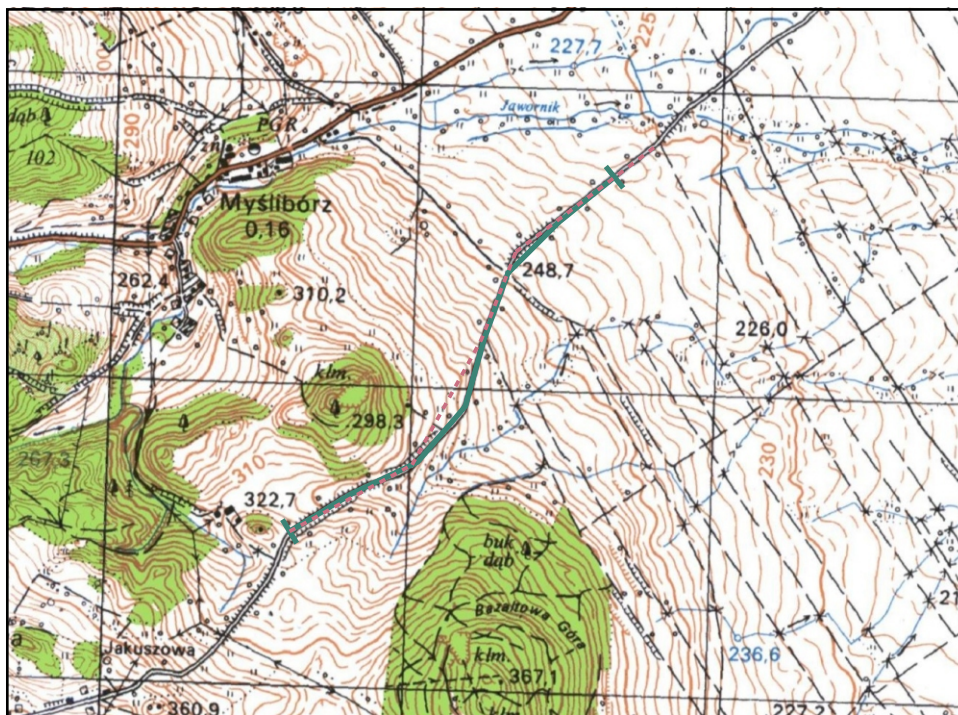
SMGS  
CHEŁMIEC



0 200 400 600 800 1000m

**Fig. 10.1.11d.** Rejon (obszar) badań Męcinka. Lokalizacja badawczych linii pomiarowych na mapie geologicznej 1 : 25 000. Objasnienia zgodnie z legendą na Fig.10.1.11e.



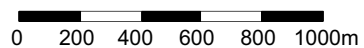
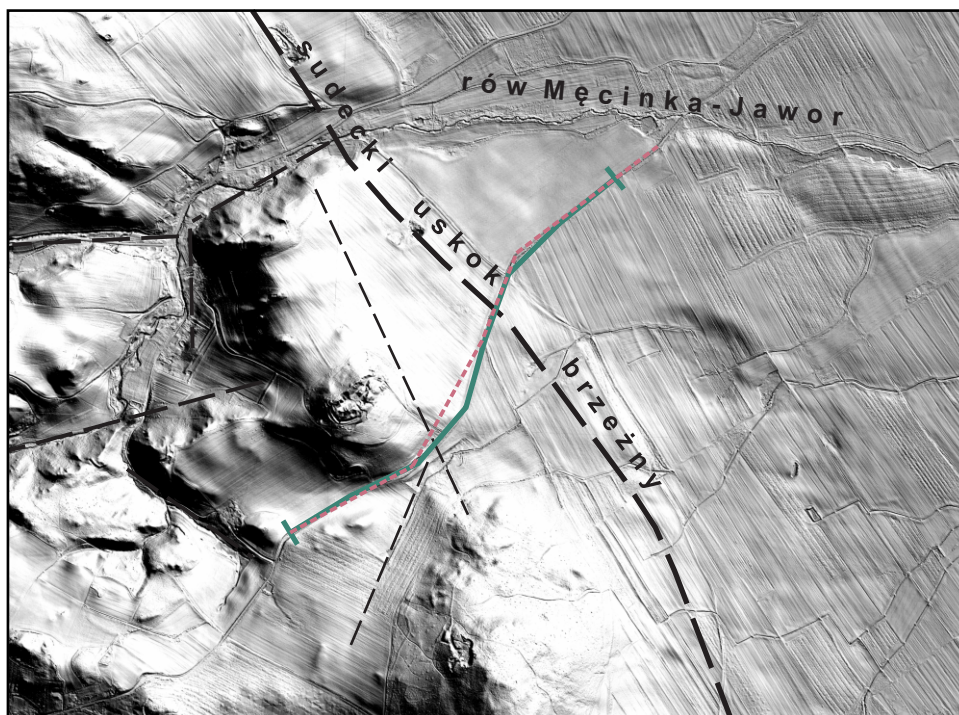


**Fig. 10.1.12a.** Rejon (obszar) badań Myślubórz. Lokalizacja badawczych linii pomiarowych na mapie topograficznej 1 : 25 000. Objaśnienia zgodnie z legendą na Fig.10.1.12e.



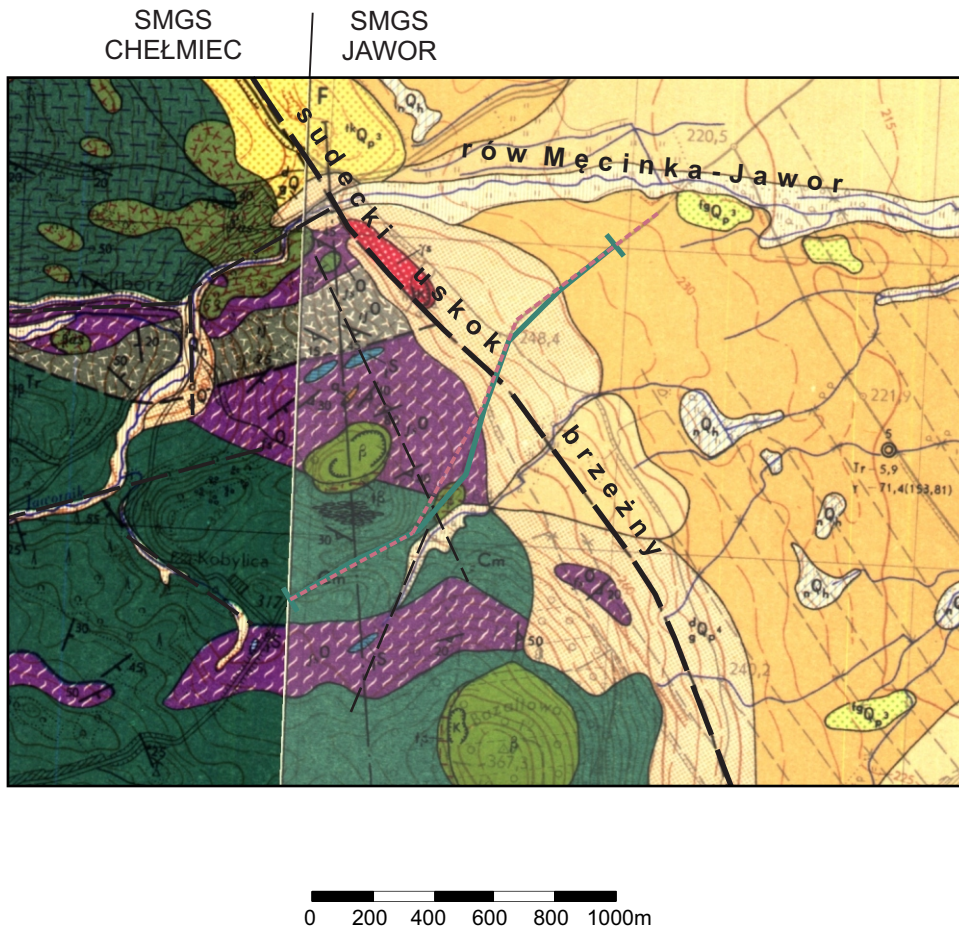
0 200 400 600 800 1000m

**Fig. 10.1.12b.** Rejon (obszar) badań Myślibórz. Lokalizacja badawczych linii pomiarowych na mapie cieniowanego reliefu, opartej na cyfrowym modelu terenu wykonanym na podstawie danych skaningu laserowego LIDAR – wersja kolorowa.



**Fig. 10.1.12c.** Rejon (obszar) badań Myślibórz. Lokalizacja badawczych linii pomiarowych na mapie cieniowanego reliefu, opartej na cyfrowym modelu terenu wykonanym na podstawie danych skaningu laserowego LIDAR – wersja czarno-biała.



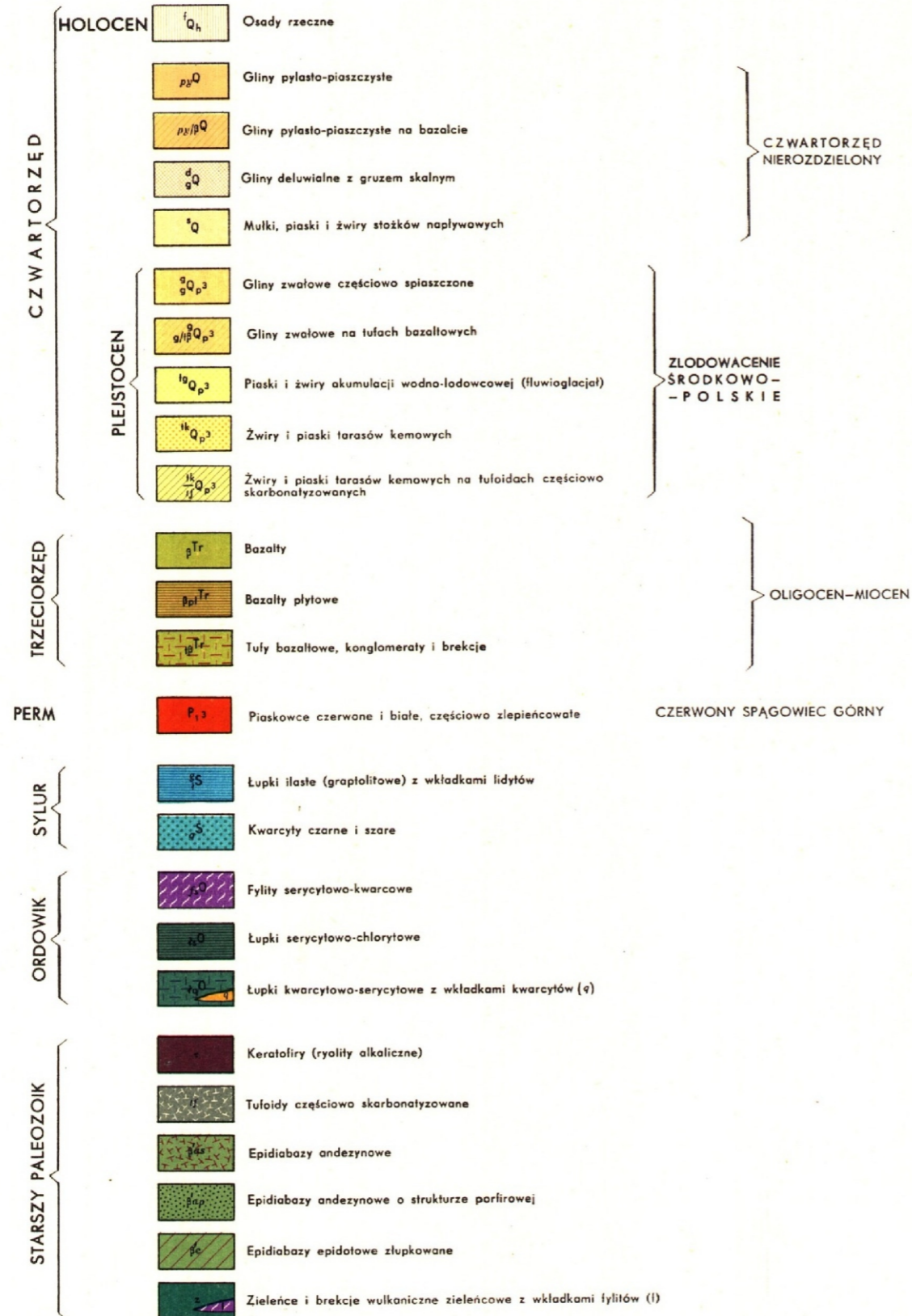


**Fig. 10.1.12d.** Rejon (obszar) badań Myślibórz. Lokalizacja badawczych linii pomiarowych na mapie geologicznej 1 : 25 000. Objasnienia zgodnie z legendą na Fig.10.1.12e.

Szczegółowa Mapa Geologiczna Sudetów w skali 1:25 000

ark. Chelmiec (J. Jerzmański, 1955)

OBJAŚNIENIE BARW I SYMBOLI



ark. Iwiny (J. Jerzmański, S. Kural, 1960)

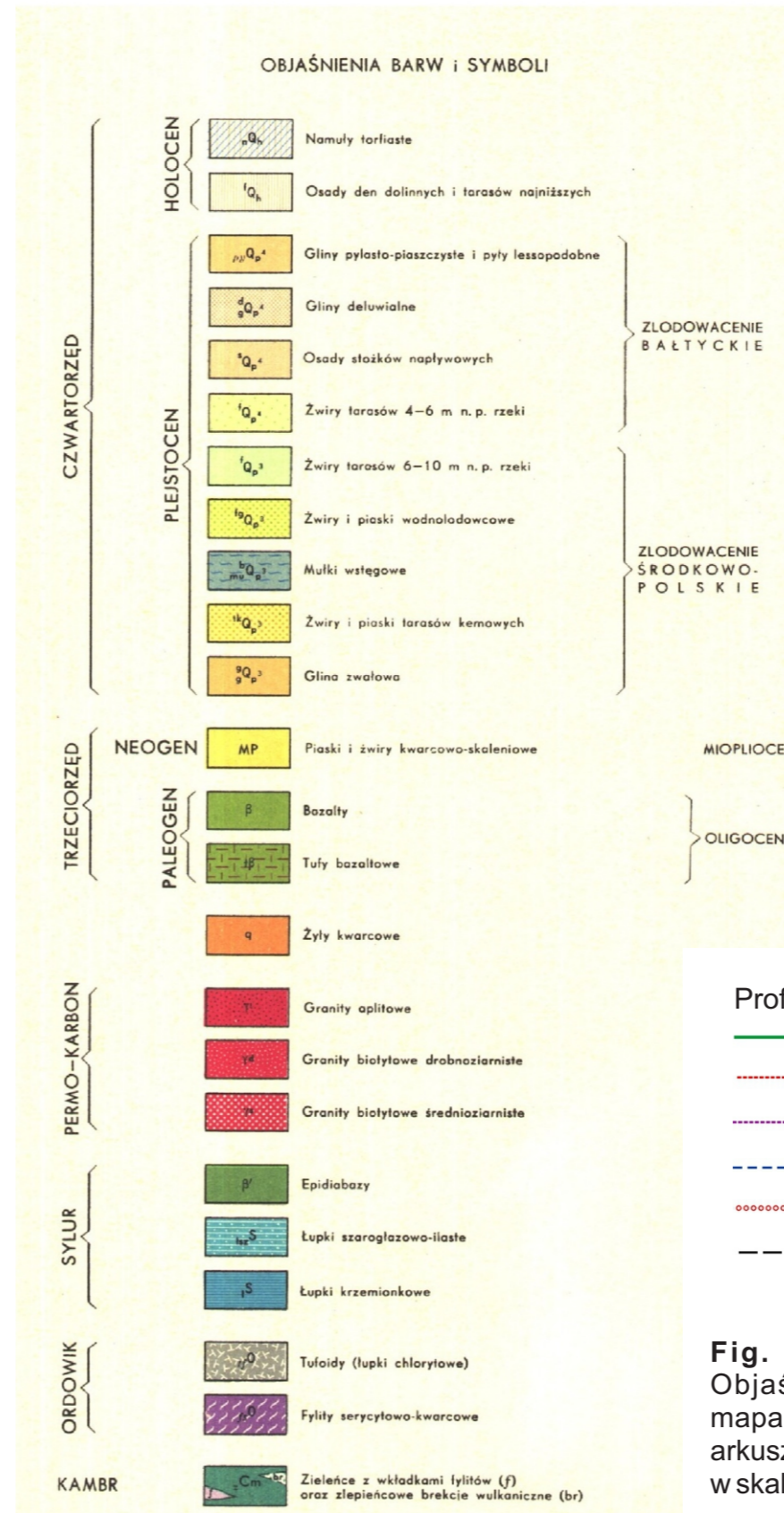
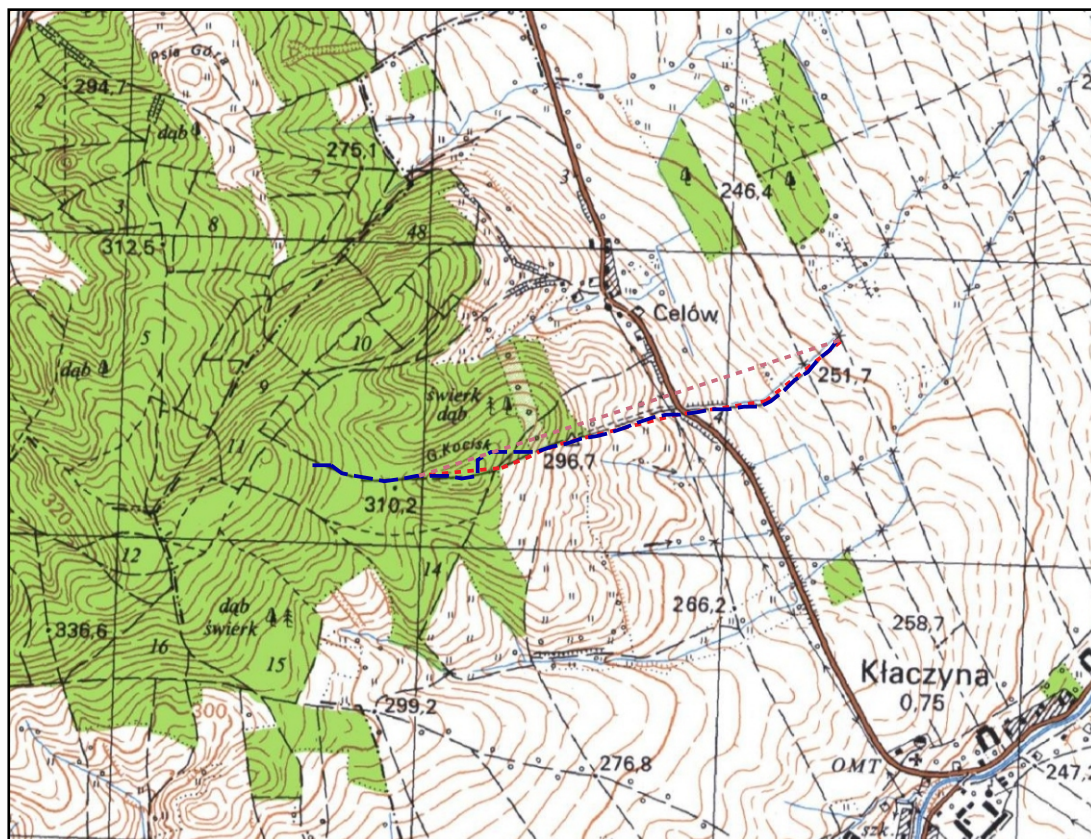
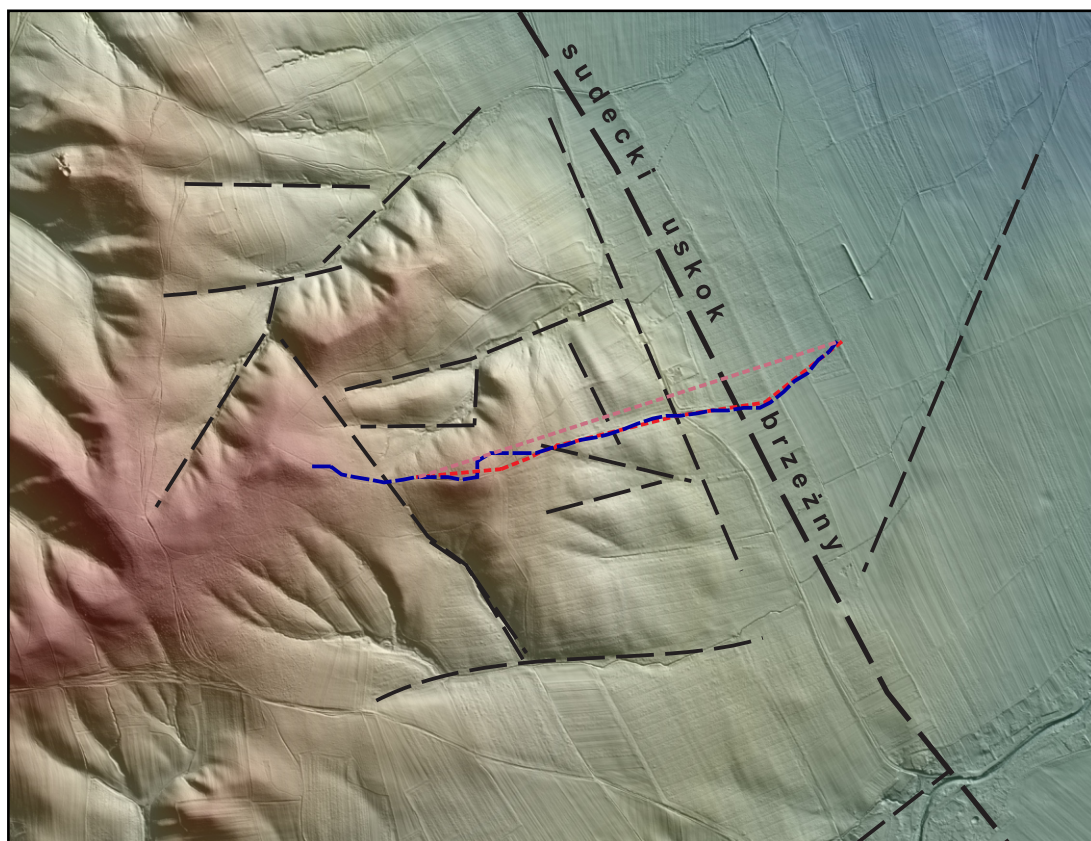


Fig. 10.1.12e. Rejon (obszar) Myślibórz. Objasnienia oznaczeń linii badawczych na mapach, na Fig. 10.1.12a-d oraz legenda do arkuszy Szczegółowej mapy geologicznej Sudetów w skali 1 : 25 000, wykorzystanych na Fig. 10.1.12d.



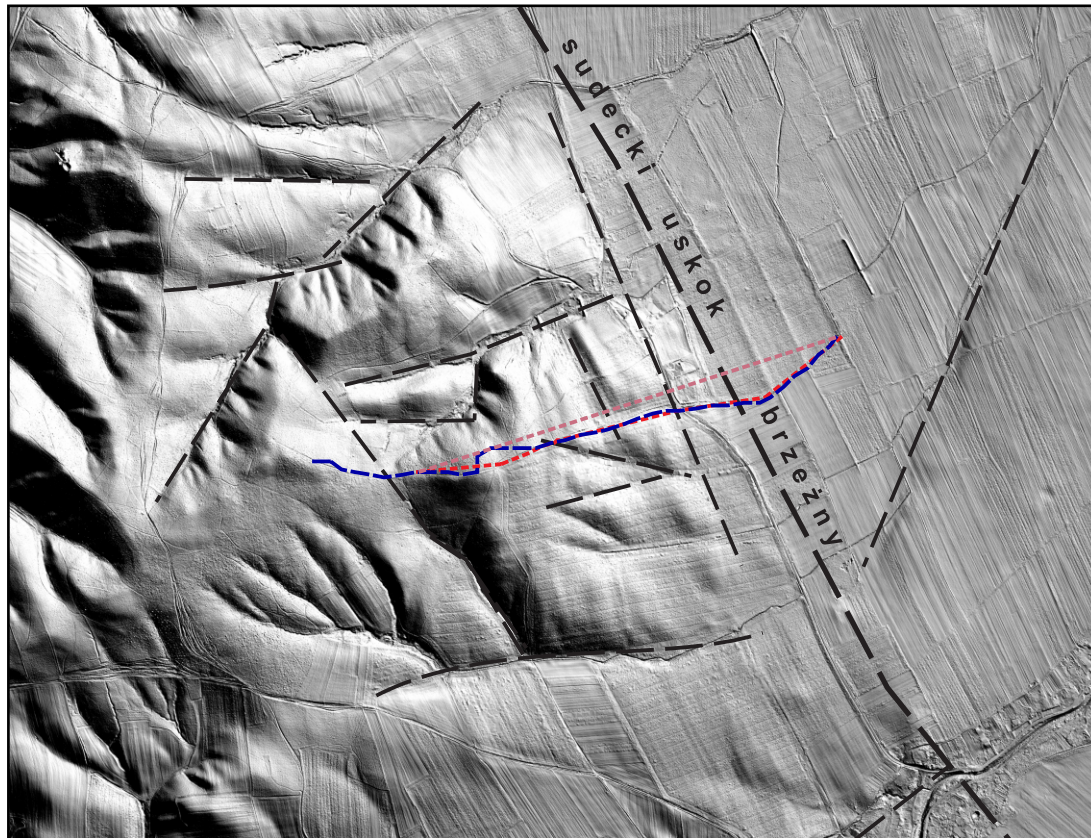
0 200 400 600 800 1000m

**Fig. 10.1.13a.** Rejon (obszar) badań Kłaczyna. Lokalizacja badawczych linii pomiarowych na mapie topograficznej 1 : 25 000. Objaśnienia zgodnie z legendą na Fig.10.1.13e.



0 200 400 600 800 1000m

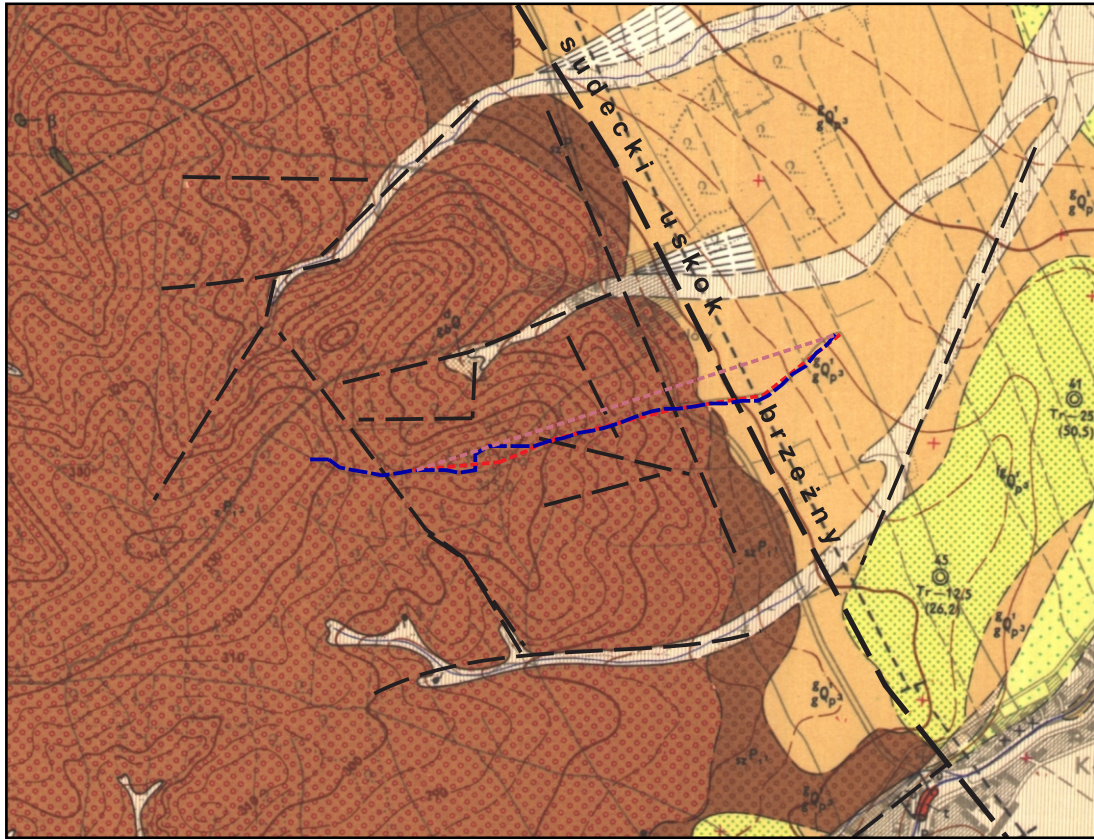
**Fig. 10.1.13b.** Rejon (obszar) badań Kłaczyna. Lokalizacja badawczych linii pomiarowych na mapie cieniowanego reliefu, opartej na cyfrowym modelu terenu wykonanym na podstawie danych skaningu laserowego LIDAR – wersja kolorowa.



0 200 400 600 800 1000m

**Fig. 10.1.13c.** Rejon (obszar) badań Kłaczyna. Lokalizacja badawczych linii pomiarowych na mapie cieniowanego reliefu, opartej na cyfrowym modelu terenu wykonanym na podstawie danych skaningu laserowego LIDAR – wersja czarno-biała.

SMGS  
ROZTOKA

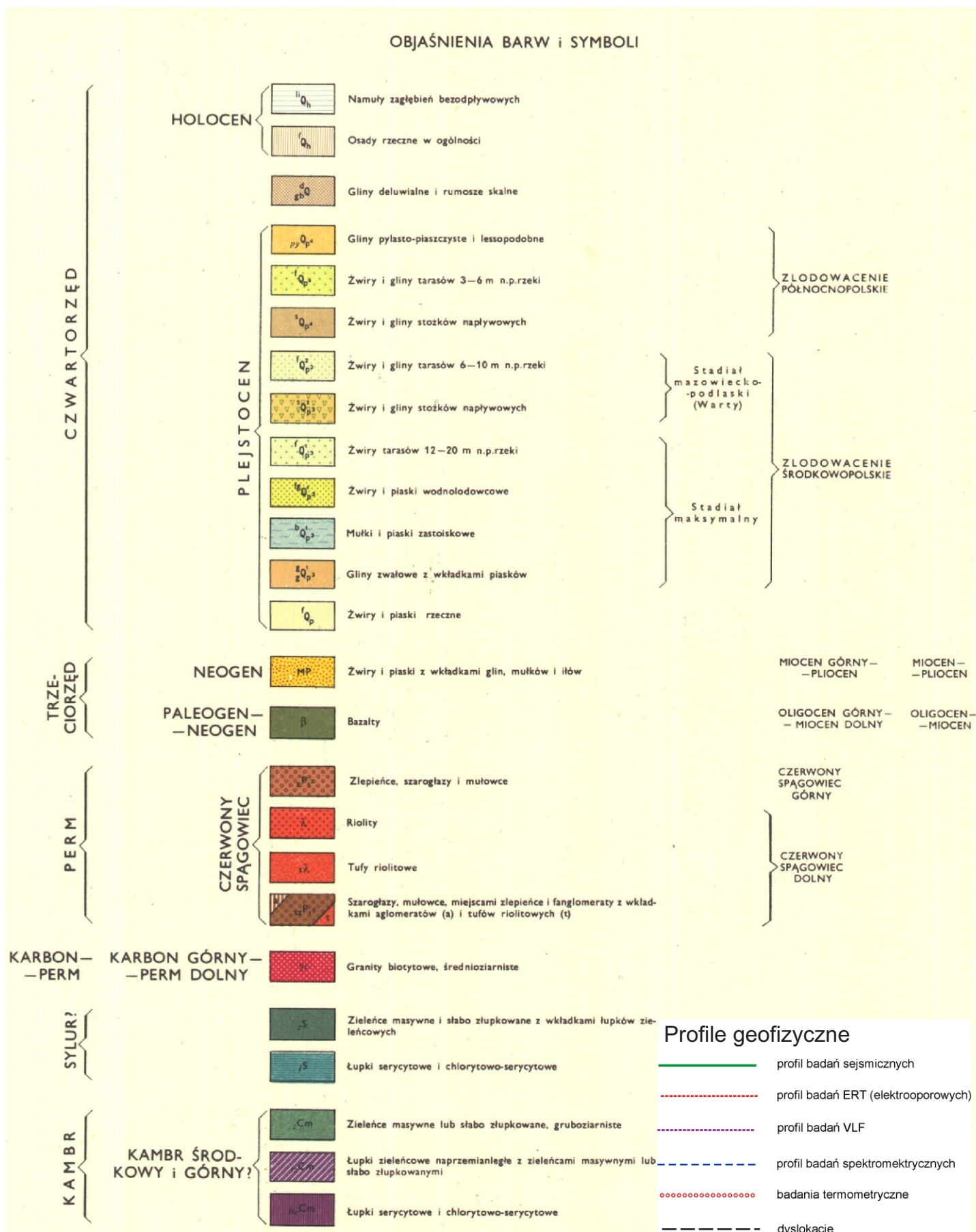


0 200 400 600 800 1000m

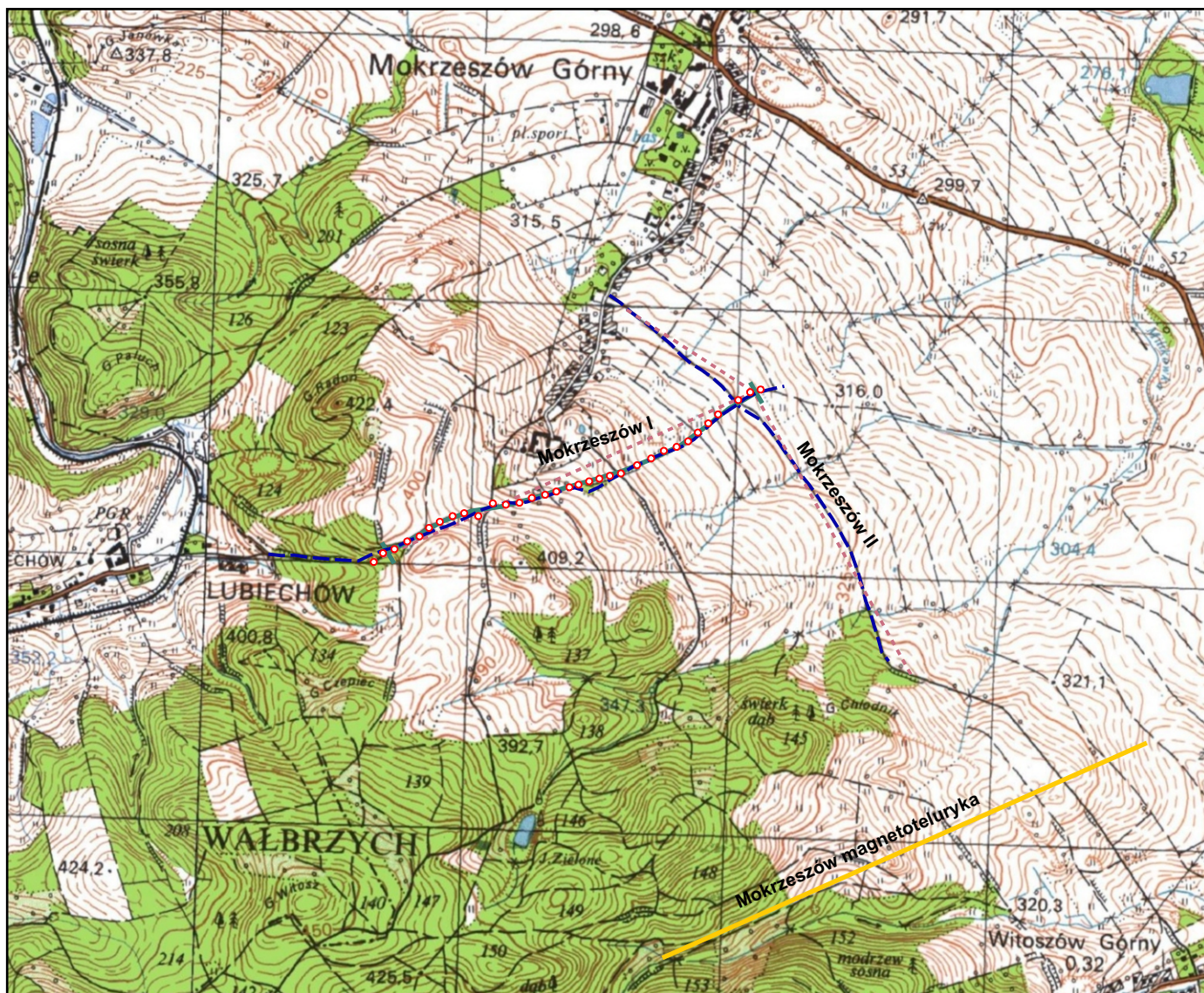
**Fig. 10.1.13d.** Rejon (obszar) badań Kłaczyna. Lokalizacja badawczych linii pomiarowych na mapie geologicznej 1 : 25 000. Objasnienia zgodne z legendą na Fig.10.1.13e.

Szczegółowa Mapa Geologiczna Sudetów w skali 1:25 000

ark. Roztoka (S. Kural, H. Teisseyre 1978)

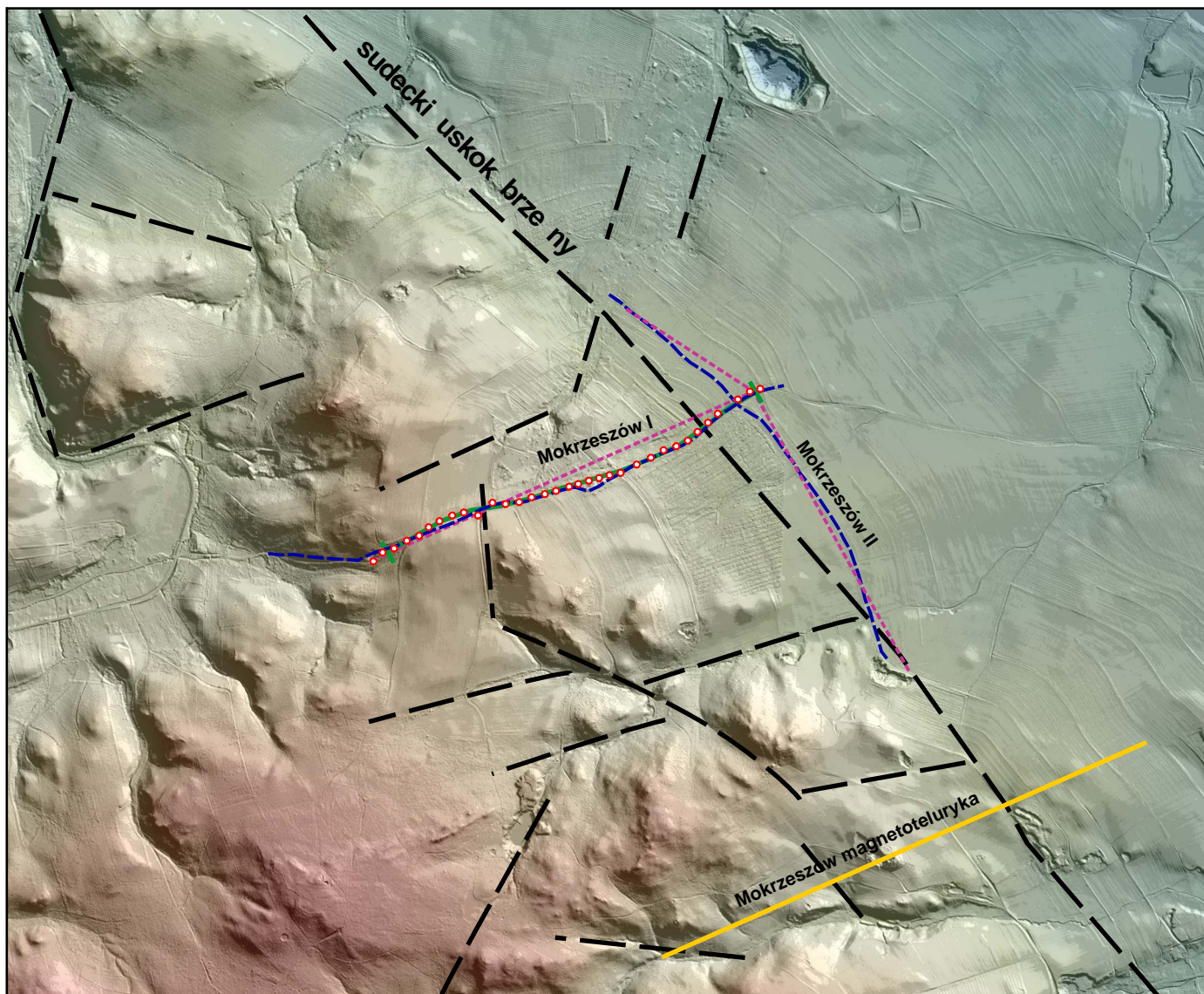


**Fig. 10.1.13e.** Rejon (obszar) badań Kłaczyna. Objasnienia oznaczeń linii badawczych na mapach, na Fig. 10.1.13a-d oraz legenda do arkuszy Szczegółowej mapy geologicznej Sudetów w skali 1 : 25 000, wykorzystanych na Fig. 10.1.13d.



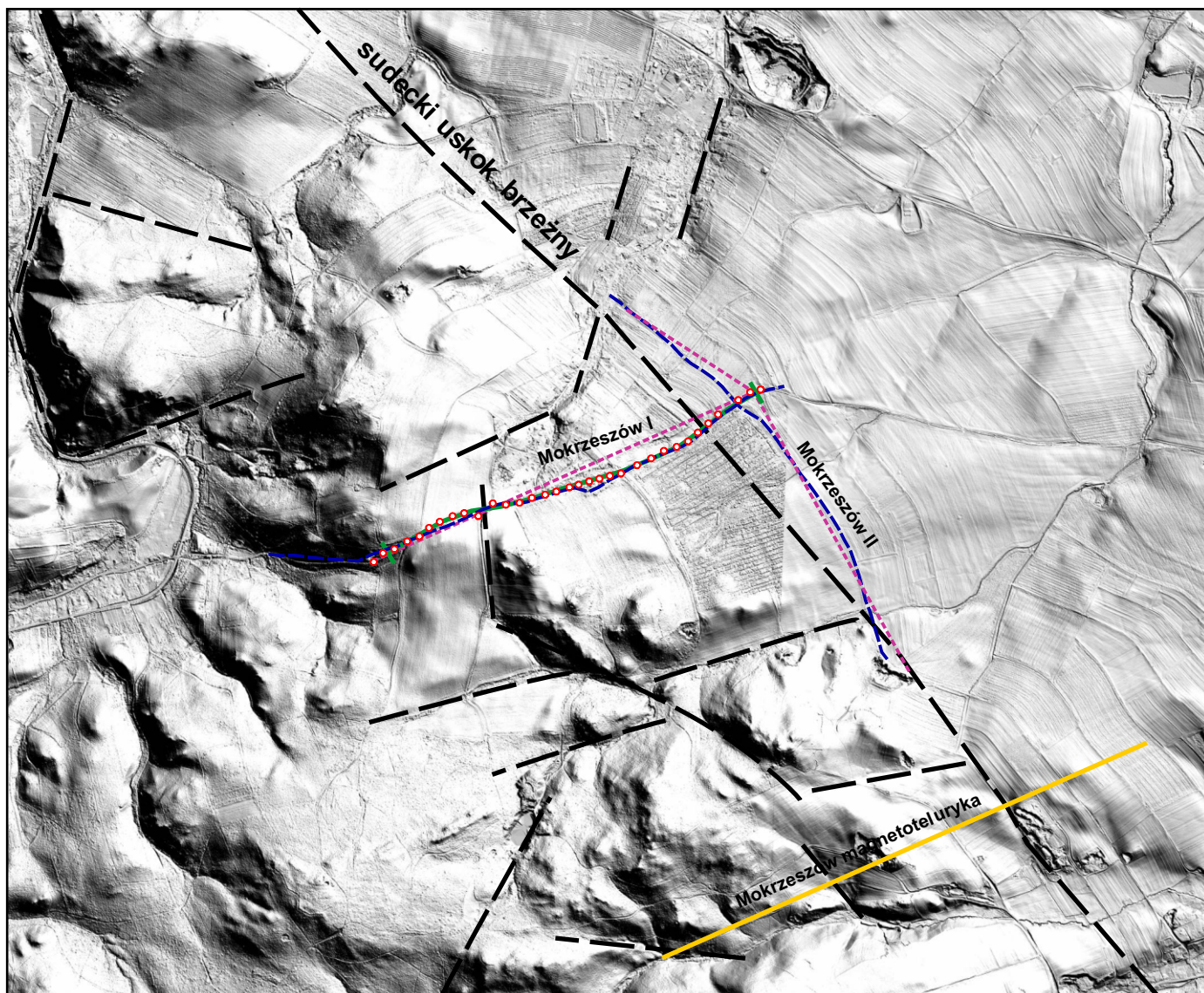
**Fig. 10.1.14a.** Rejon (obszar) badań Mokrzeszów. Lokalizacja badawczych linii pomiarowych na mapie topograficznej 1 : 25 000. Objasnienia zgodnie z legendą na Fig.10.1.14e.





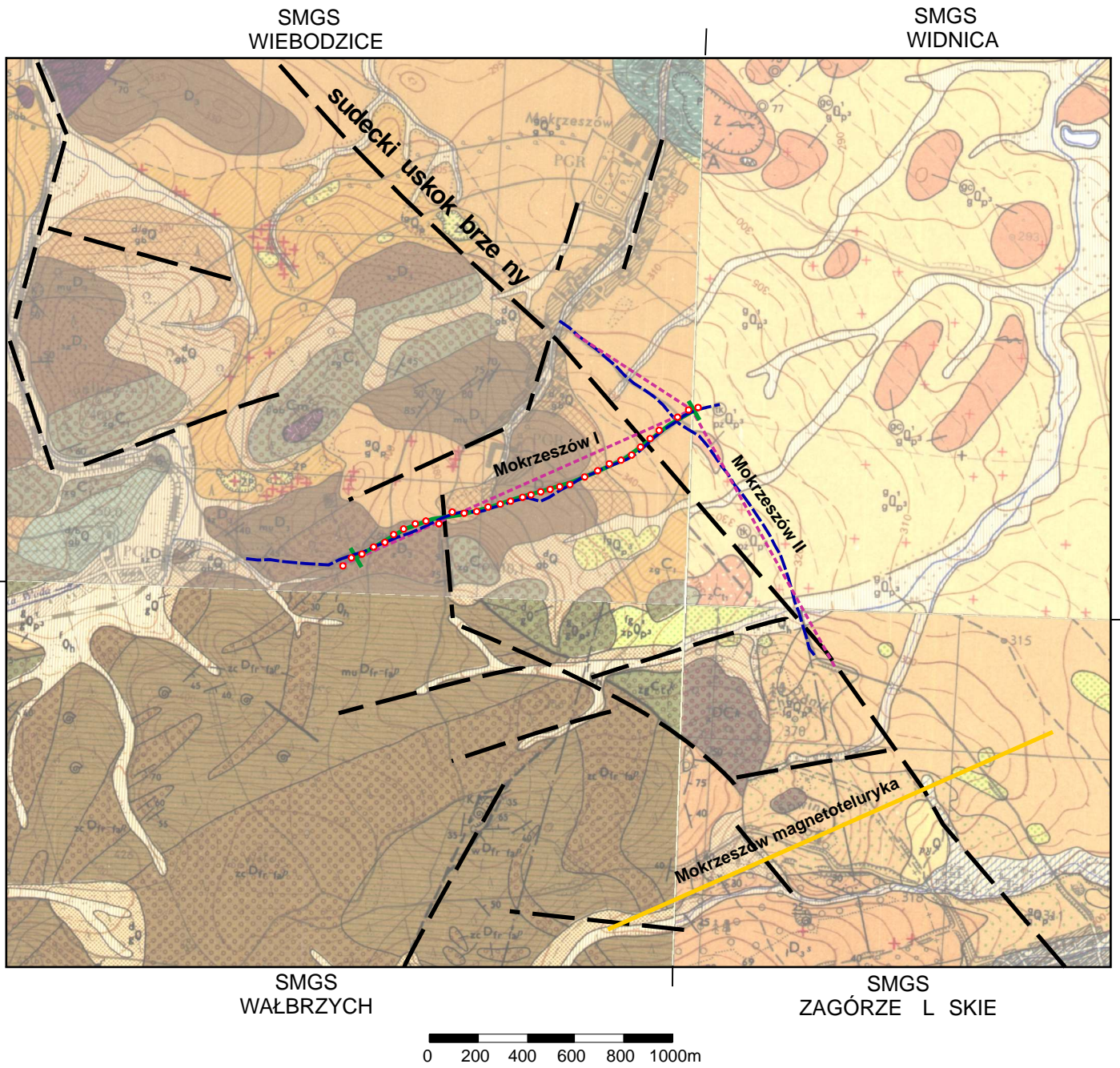
0 200 400 600 800 1000m

**Fig. 10.1.14b.** Rejon (obszar) bada Mokreszów. Lokalizacja badawczych linii pomiarowych na mapie cieniowanego reliefu, opartej na cyfrowym modelu terenu wykonanym na podstawie danych skaningu laserowego LIDAR – wersja kolorowa



0 200 400 600 800 1000m

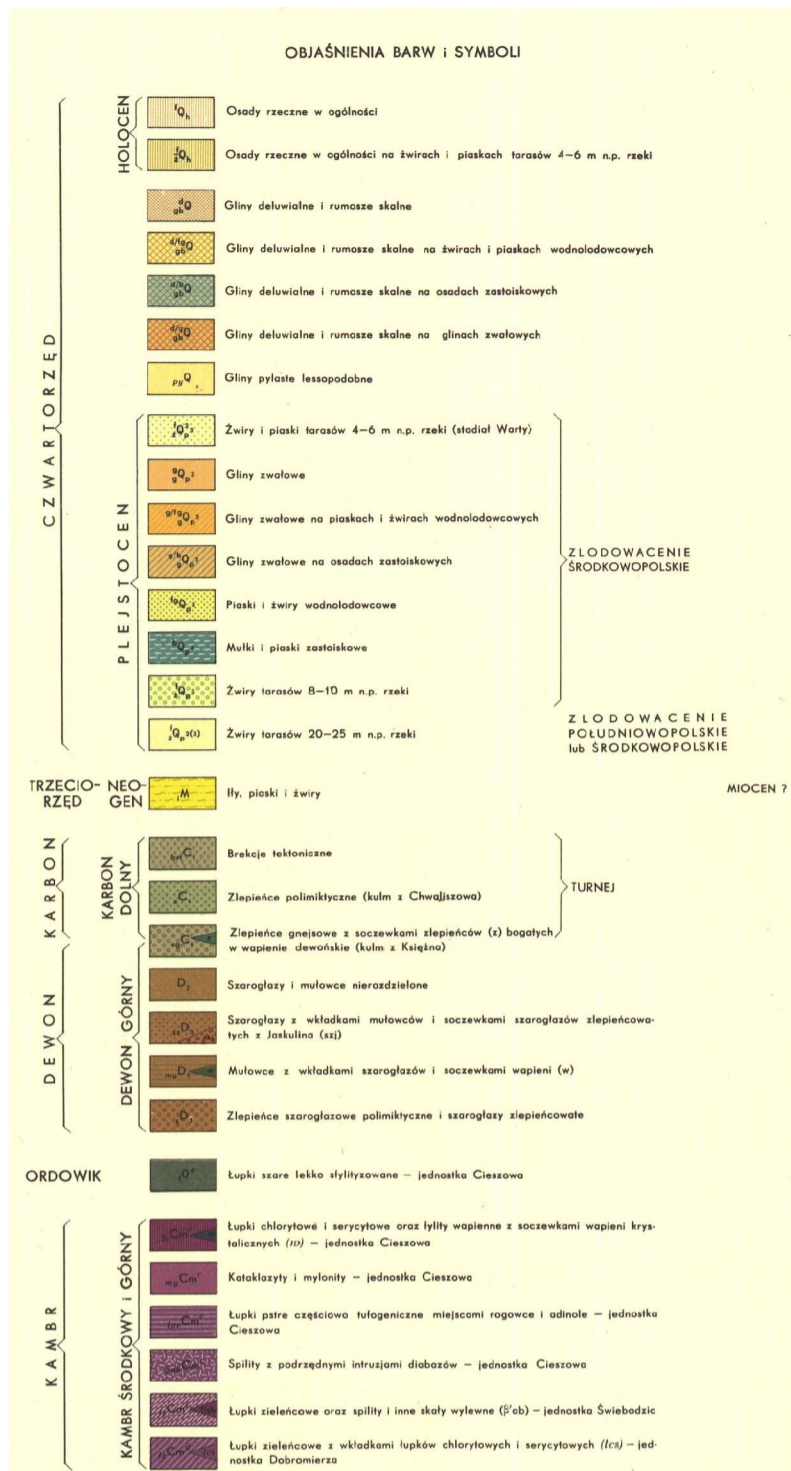
**Fig. 10.1.14b.** Rejon (obszar) badań Mokreszów. Lokalizacja badawczych linii pomiarowych na mapie cieniowanego reliefu, opartej na cyfrowym modelu terenu wykonanym na podstawie danych skaningu laserowego LIDAR - wersja czarno-biała



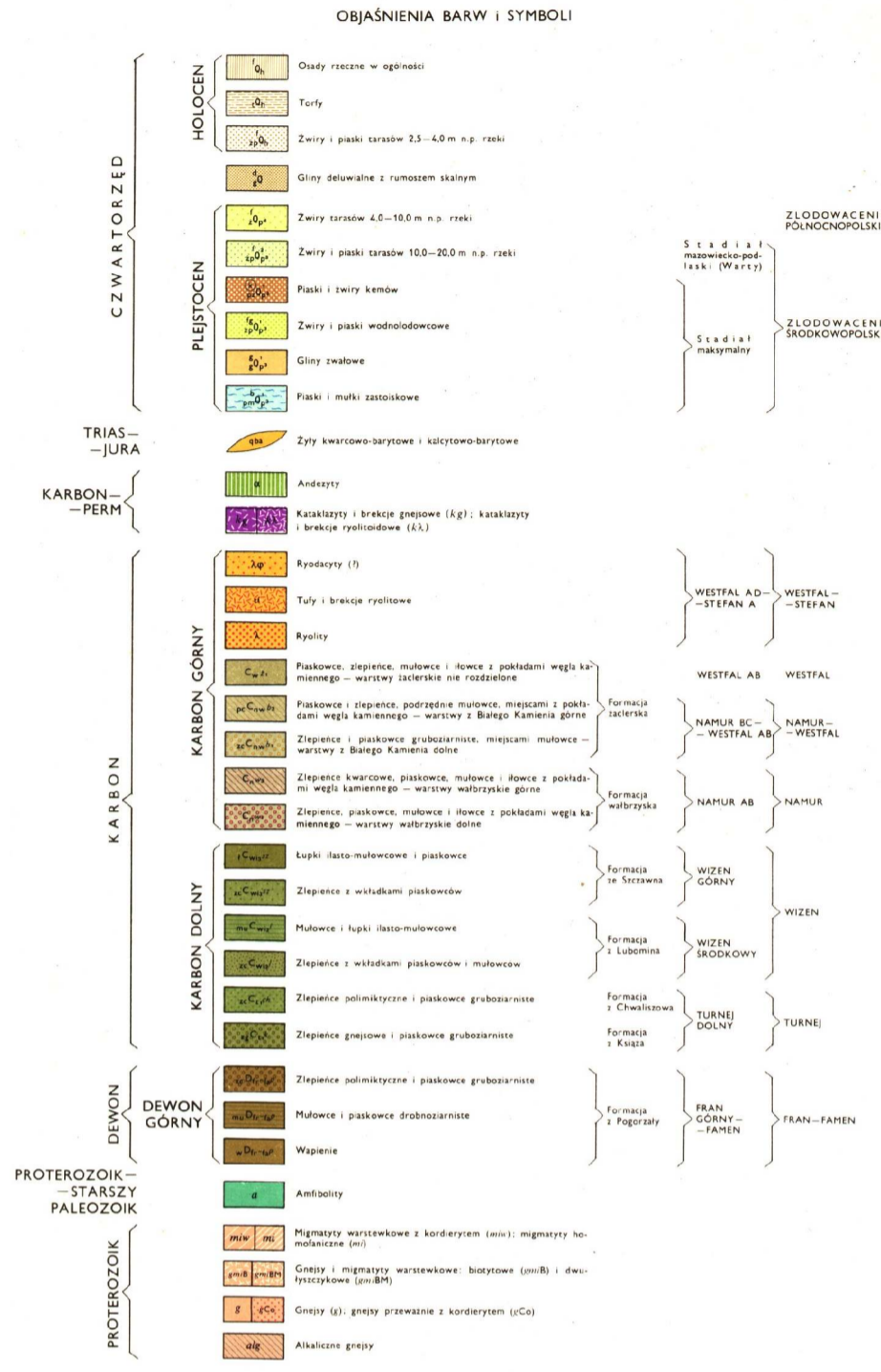
**Fig. 10.1.14d.** Rejon (obszar) bada Mokreszów. Lokalizacja badawczych linii pomiarowych na mapie geologicznej 1 : 25 000. Obją nienia zgodne z legend na Fig.10.1.14e.

Szczegółowa Mapa Geologiczna Sudetów w skali 1:25 000

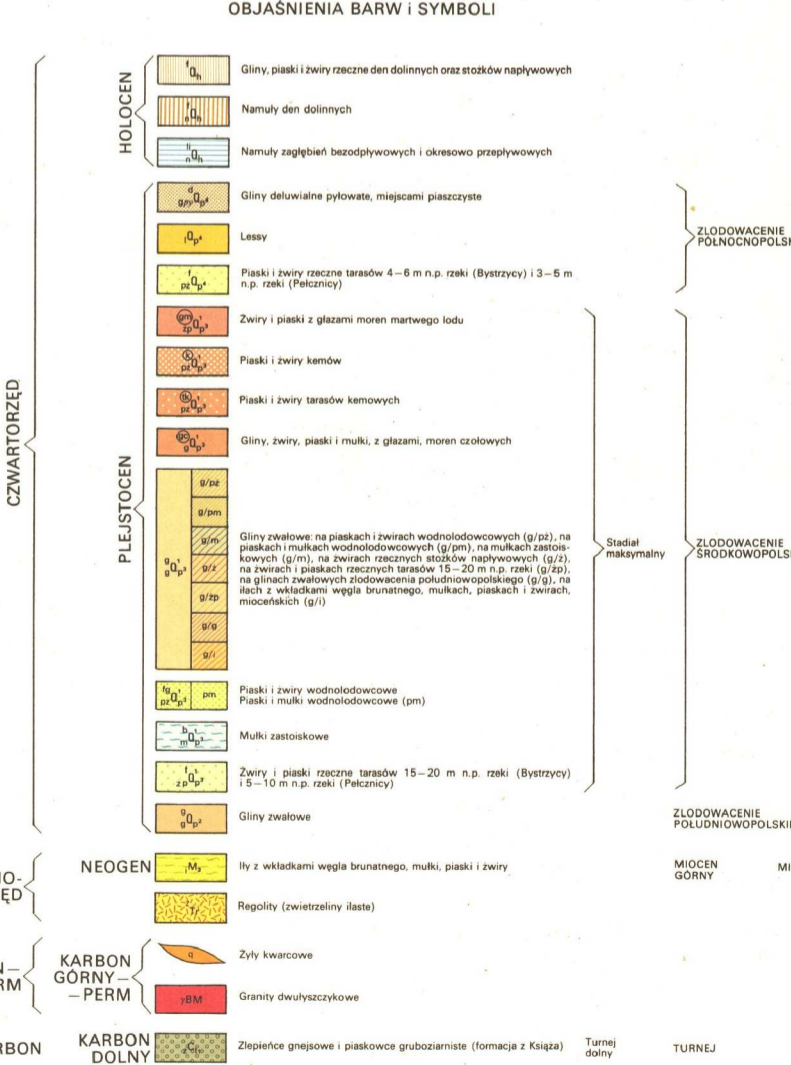
ark. wiebodzice (H. Teisseyre, O. Gawroński, 1966)



ark. Wałbrzych (A. Haydukiewicz, S. Olszewski, S. Porbski, A. Teisseyre 1984)



ark. widnica (M. Walczak-Augustyniak, 1991)



ark. Zagórze i skie (H. Teisseyre, L. Sawicki, 1958)

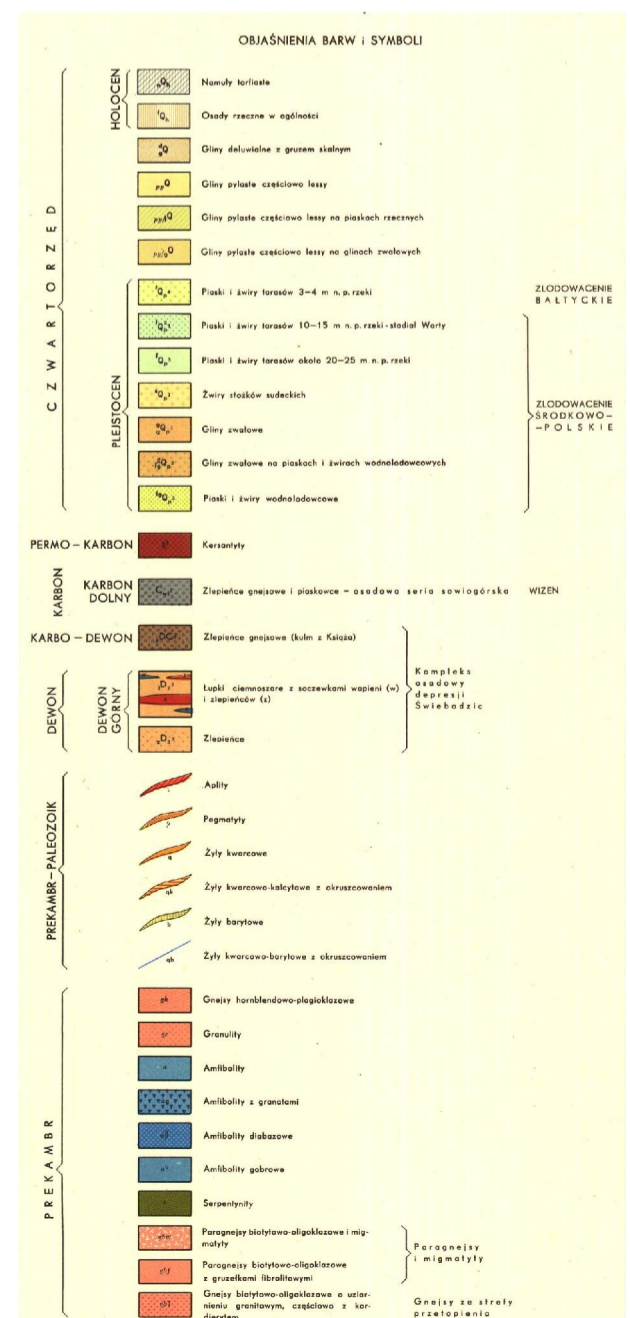
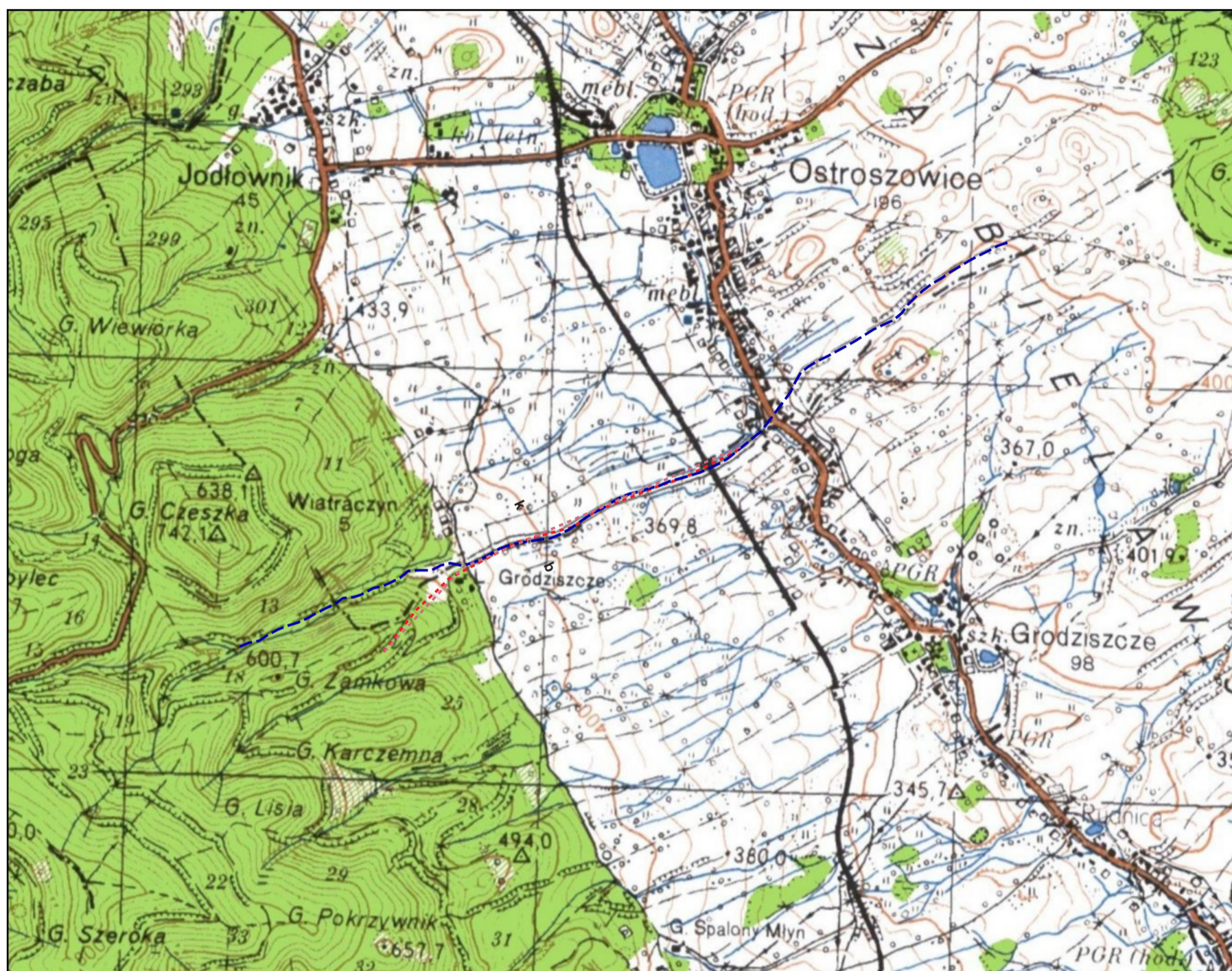


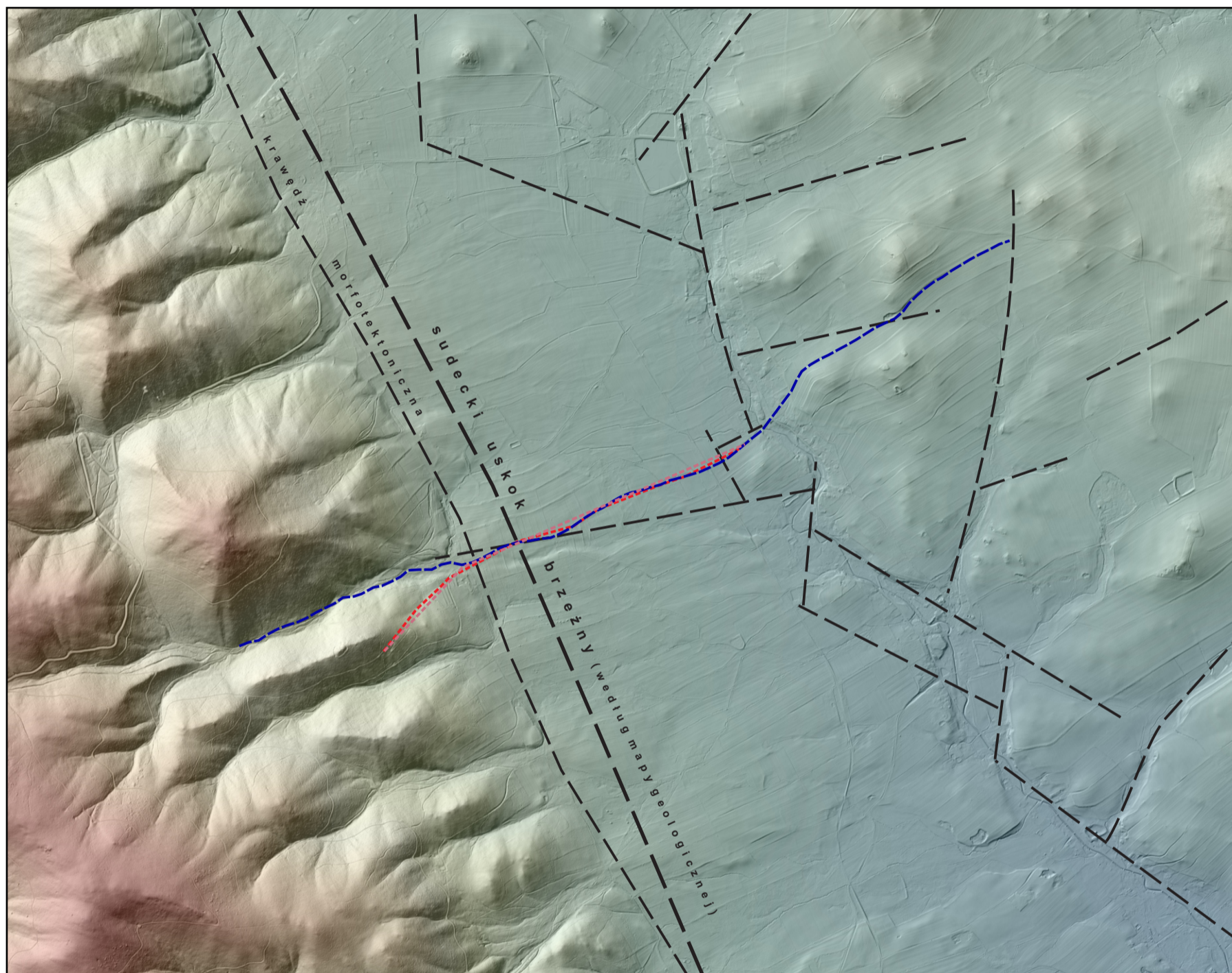
Fig. 10.1.14e. Rejon (obszar) badań Mokrzeszów. Objaśnienia oznaczeń linii badawczych na mapach, na Fig. 10.1.14a-d oraz legenda do arkuszy Szczegółowej mapy geologicznej Sudetów w skali 1 : 25 000, wykorzystanych na Fig. 10.1.14d.

- Objaśnienia do map lokalizacji prac geofizycznych
- profil bada sejsmicznych
  - - - profil bada ERT (elektrooporowych)
  - - - profil bada VLF
  - - - profil bada spektrometrycznych
  - badania termometryczne
  - profil bada magnetotelurycznych
  - dyslokacje

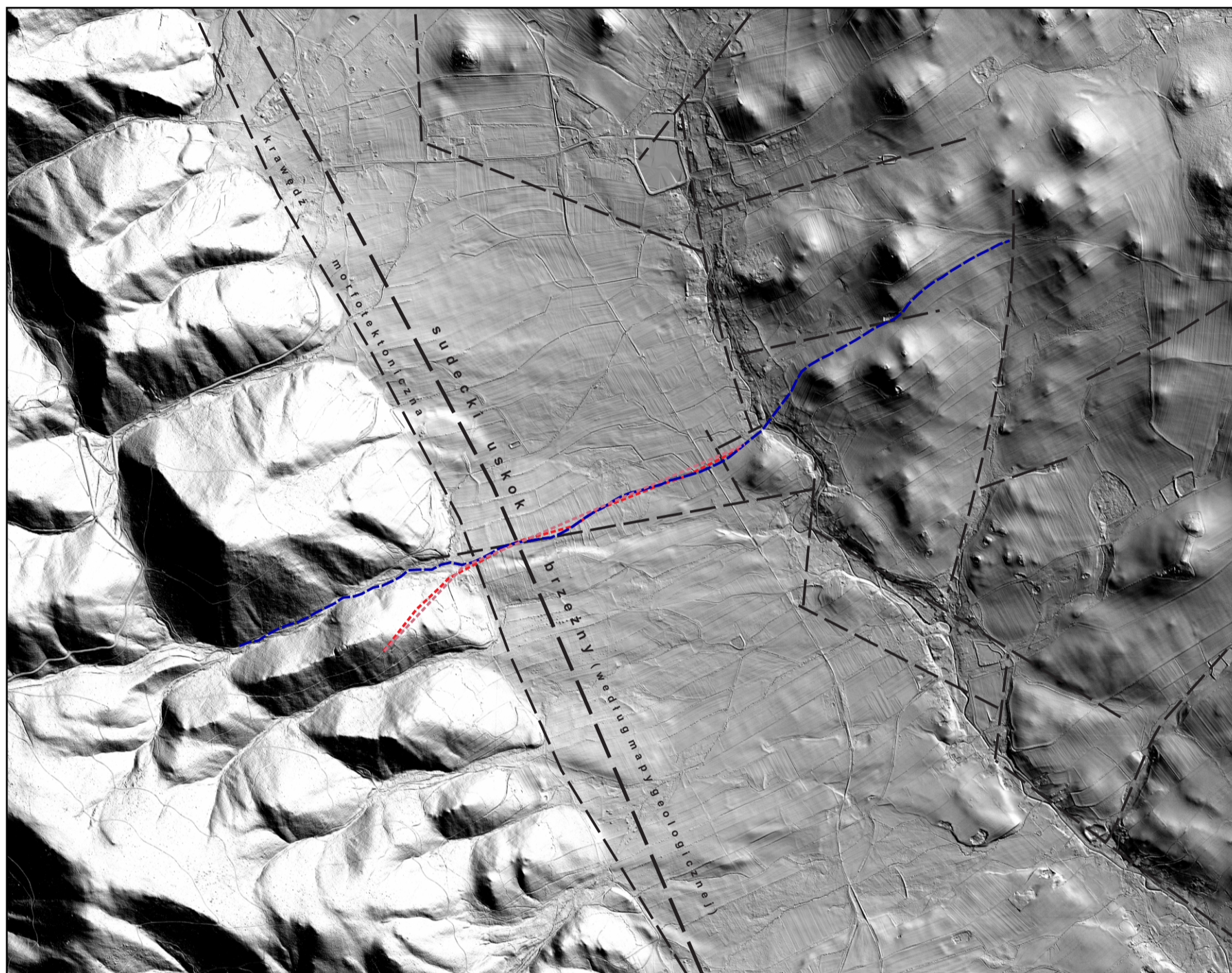


0 200 400 600 800 1000m

**Fig. 10.1.15a.** Rejon (obszar) badań Ostroszowice. Lokalizacja badawczych linii pomiarowych na mapie topograficznej 1 : 25 000. Objasnienia zgodnie z legendą na Fig.10.1.15e.

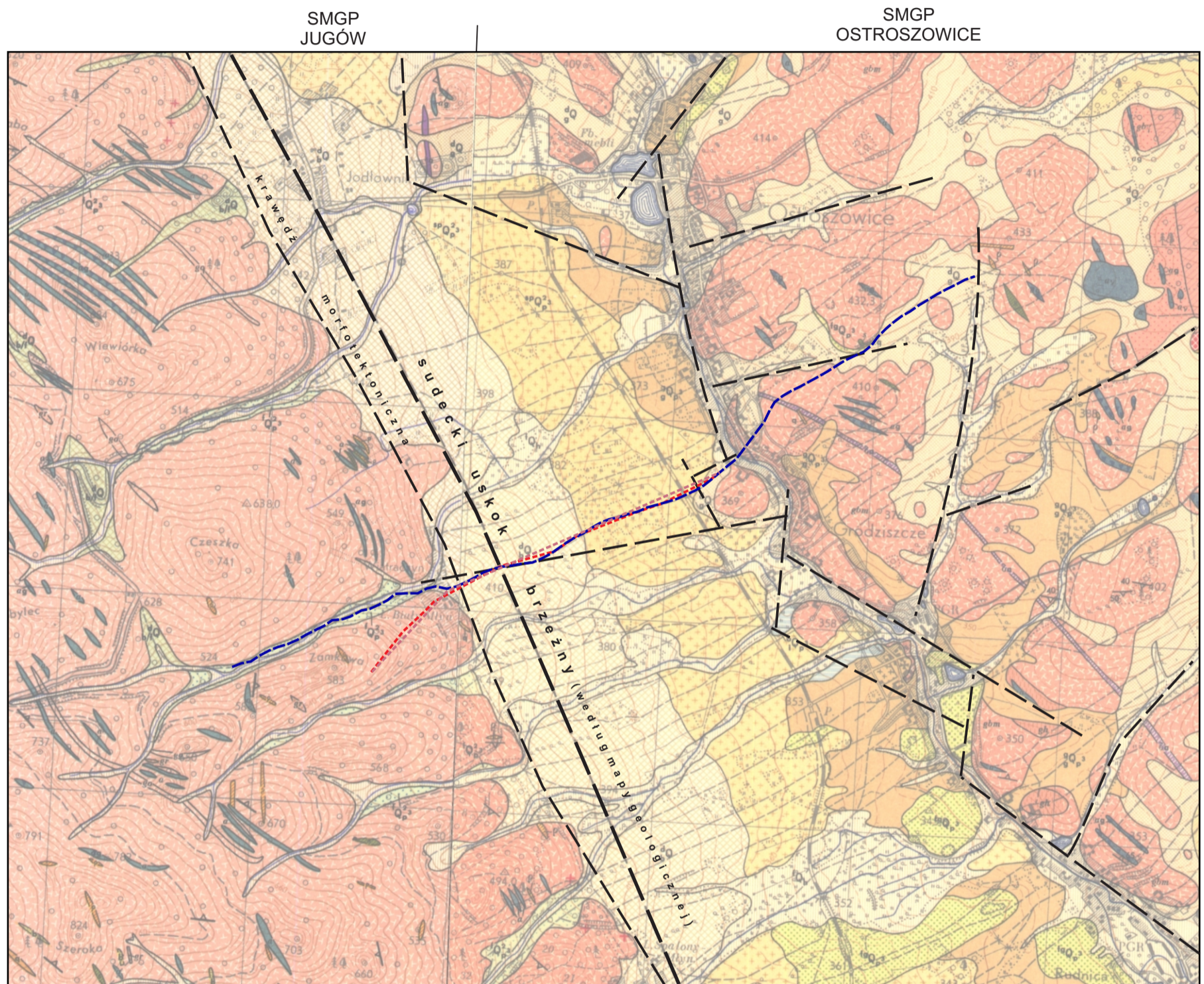


**Fig. 10.1.15b.** Rejon (obszar) badań Ostroszowice. Lokalizacja badawczych linii pomiarowych na mapie cieniowanego reliefu, opartej na cyfrowym modelu terenu wykonanym na podstawie danych skaningu laserowego LIDAR – wersja kolorowa.



0 200 400 600 800 1000m

**Fig. 10.1.15c.** Rejon (obszar) badań Ostroszowice. Lokalizacja badawczych linii pomiarowych na mapie cieniowanego reliefu, opartej na cyfrowym modelu terenu wykonanym na podstawie danych skaningu laserowego LIDAR – wersja czarno-biała.



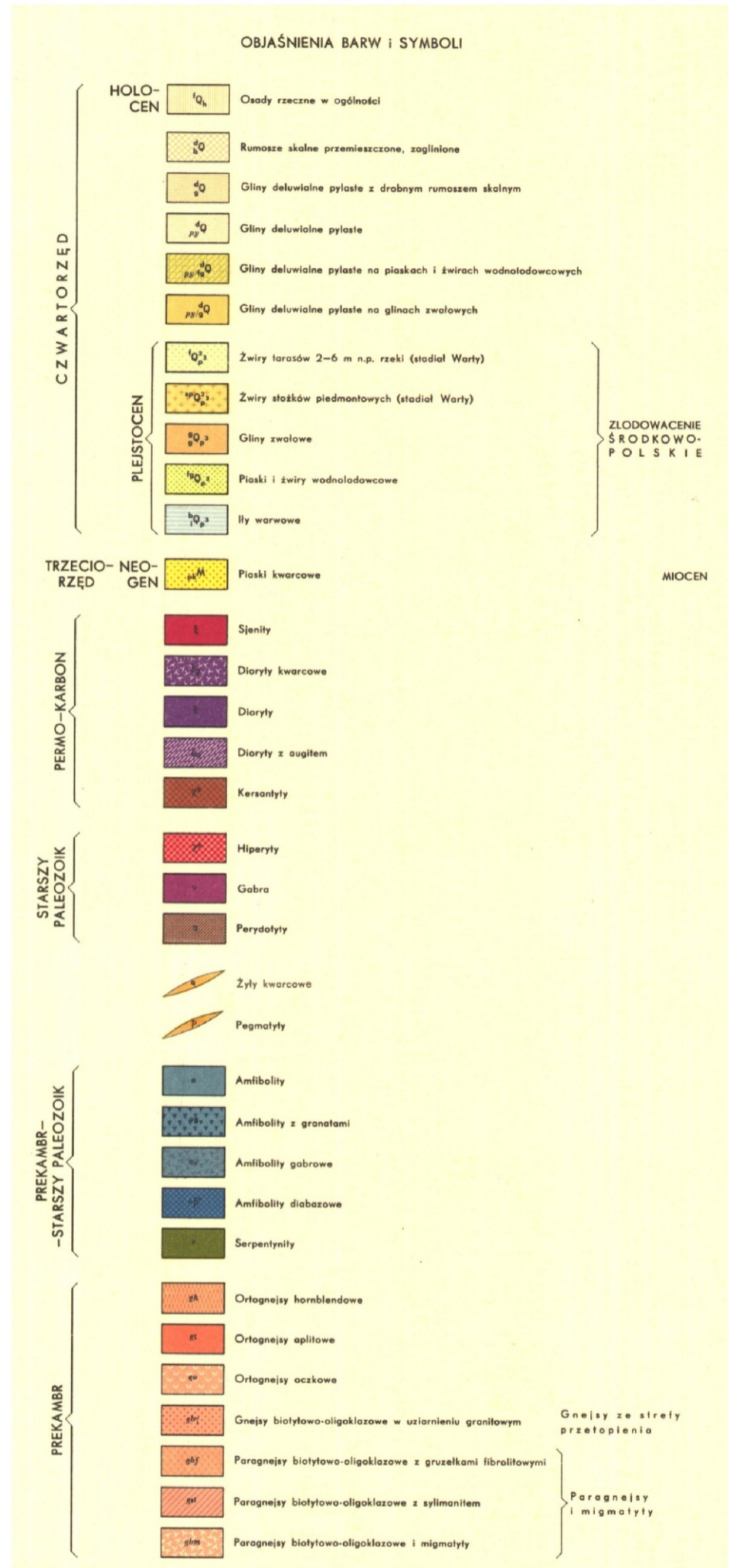
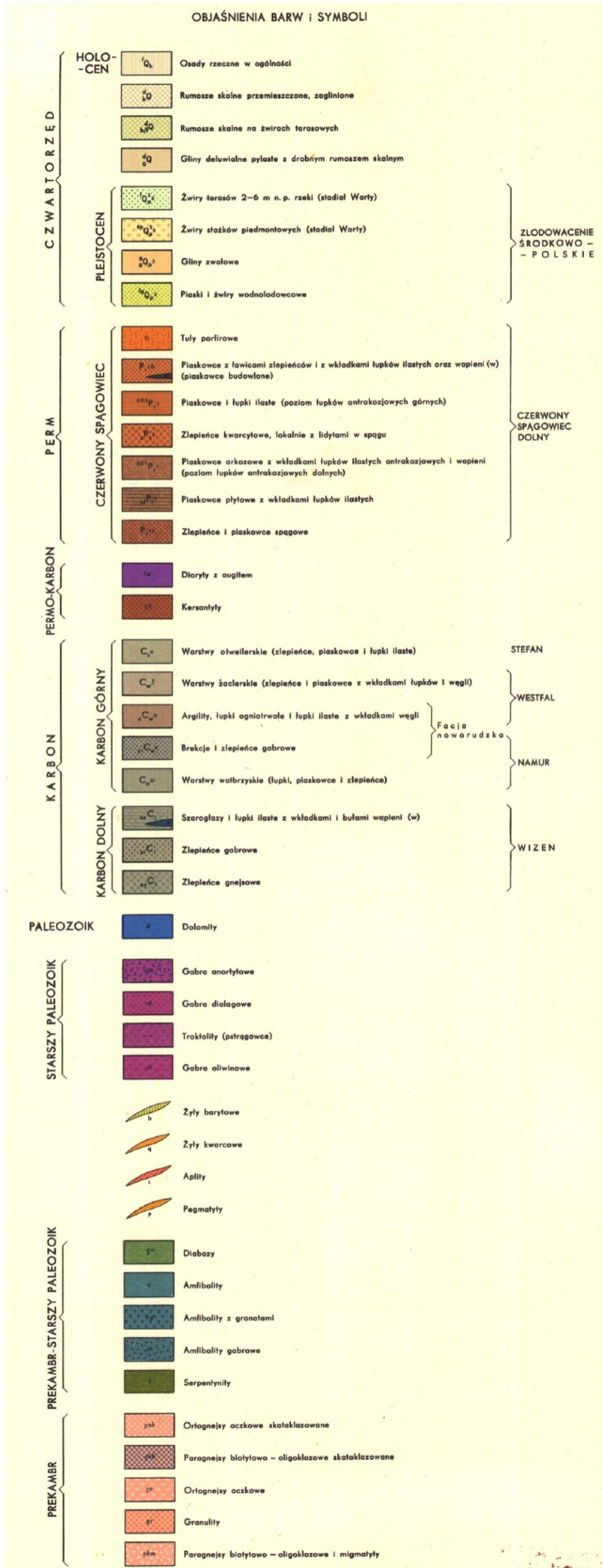
**Fig. 10.1.15d.** Rejon (obszar) badań Ostroszowice. Lokalizacja badawczych linii pomiarowych na mapie geologicznej 1 : 25 000. Objasnienia zgodne z legendą na Fig.10.1.15e.



Szczegółowa Mapa Geologiczna Sudetów w skali 1:25 000

ark. Jugów (O. Gawroński, 1959)

ark. Ostroszowice (S. Trepka, O. Gawroński, 1961)



Profile geofizyczne

- profil badań sejsmicznych
- profil badań ERT (elektrooporowych)
- profil badań VLF
- profil badań spektrometrycznych
- badania termometryczne
- dyslokacje

Fig. 10.15e. Rejon (obszar) badań Ostroszowice. Objasnienia oznaczeń linii badawczych na mapach, na Fig. 10.15a-d oraz legenda do arkuszy Szczegółowej mapy geologicznej Sudetów w skali 1 : 25 000, wykorzystanych na Fig. 10.15d.